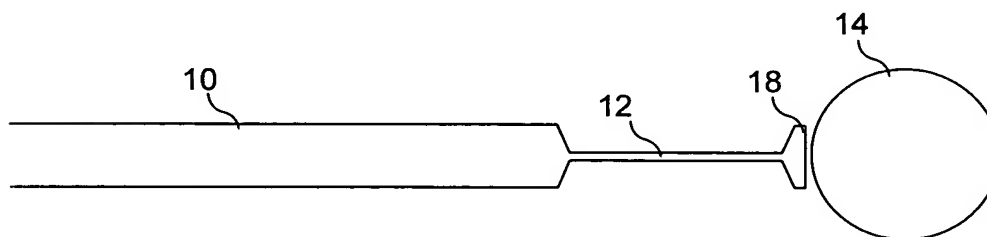
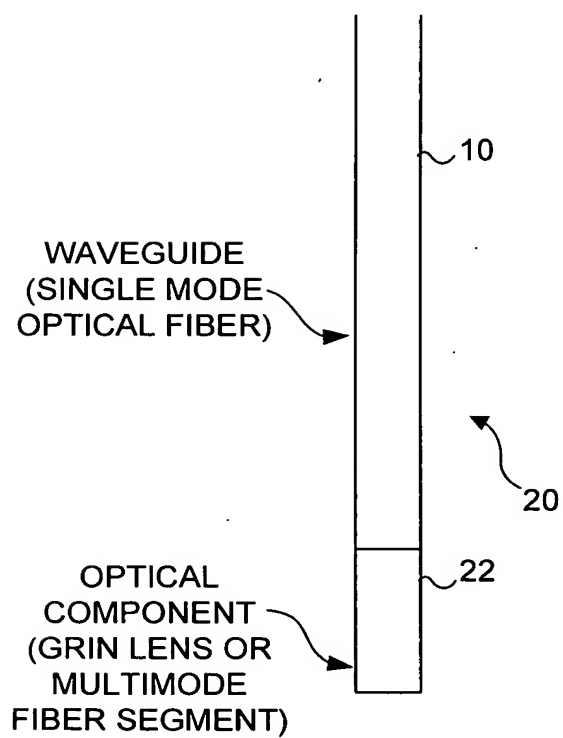


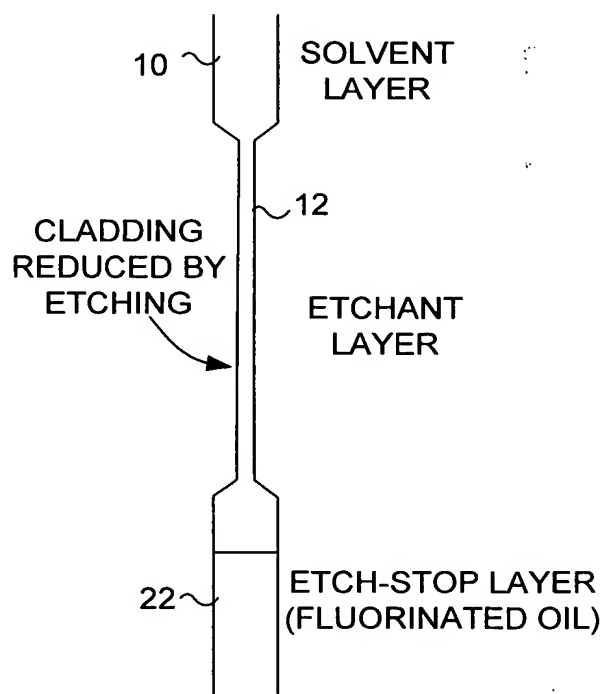
**FIG. 1A**



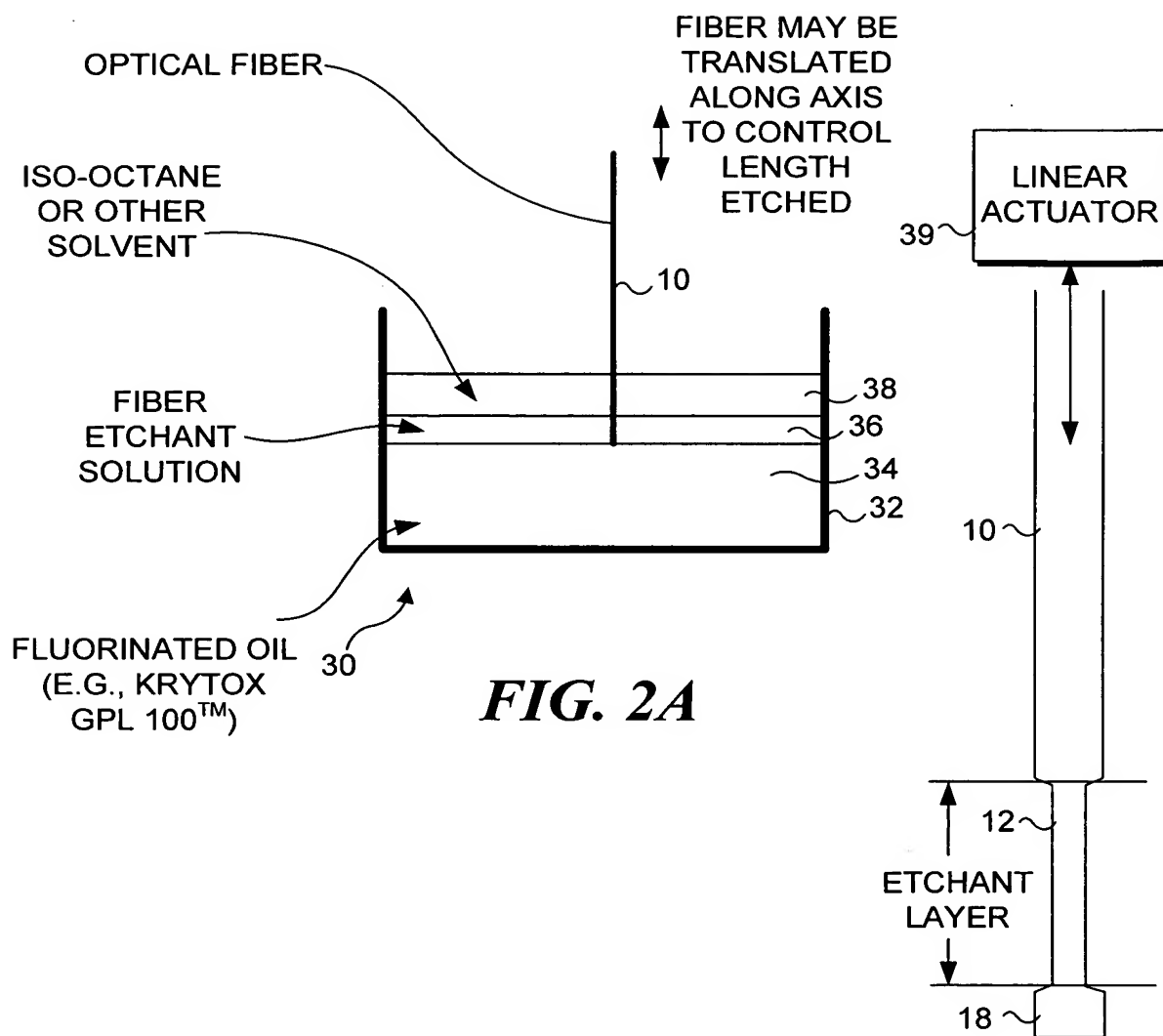
**FIG. 1B**



**FIG. 1C**

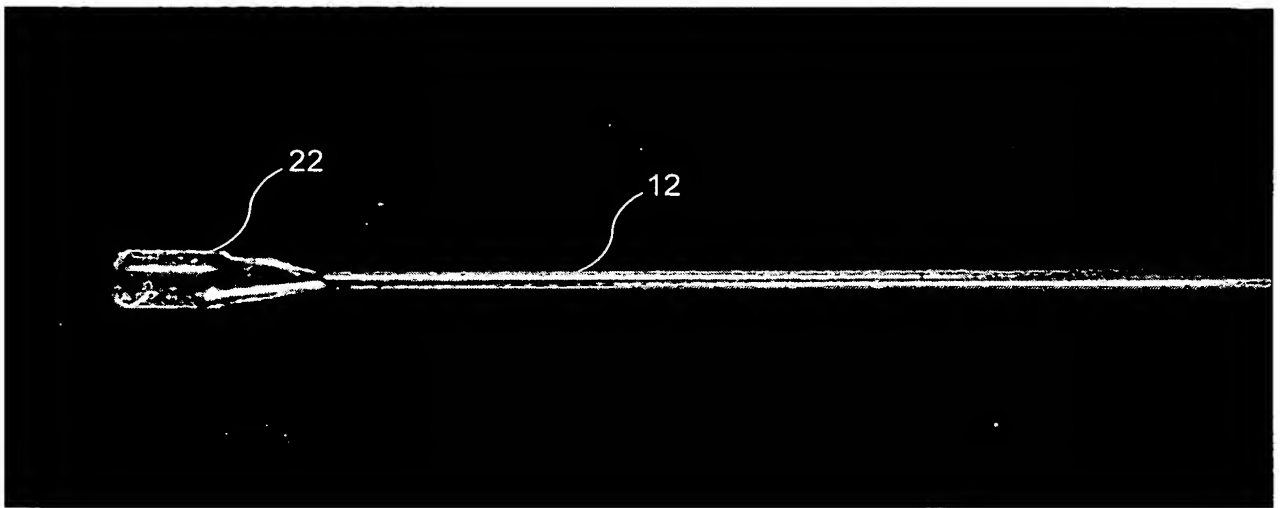


**FIG. 1D**

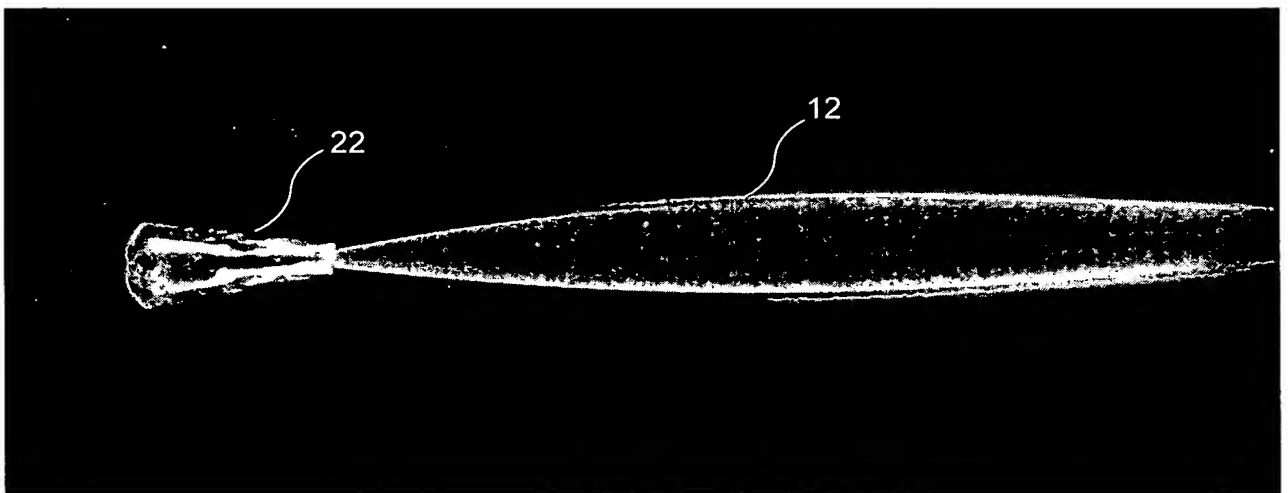


**FIG. 2A**

**FIG. 2B**

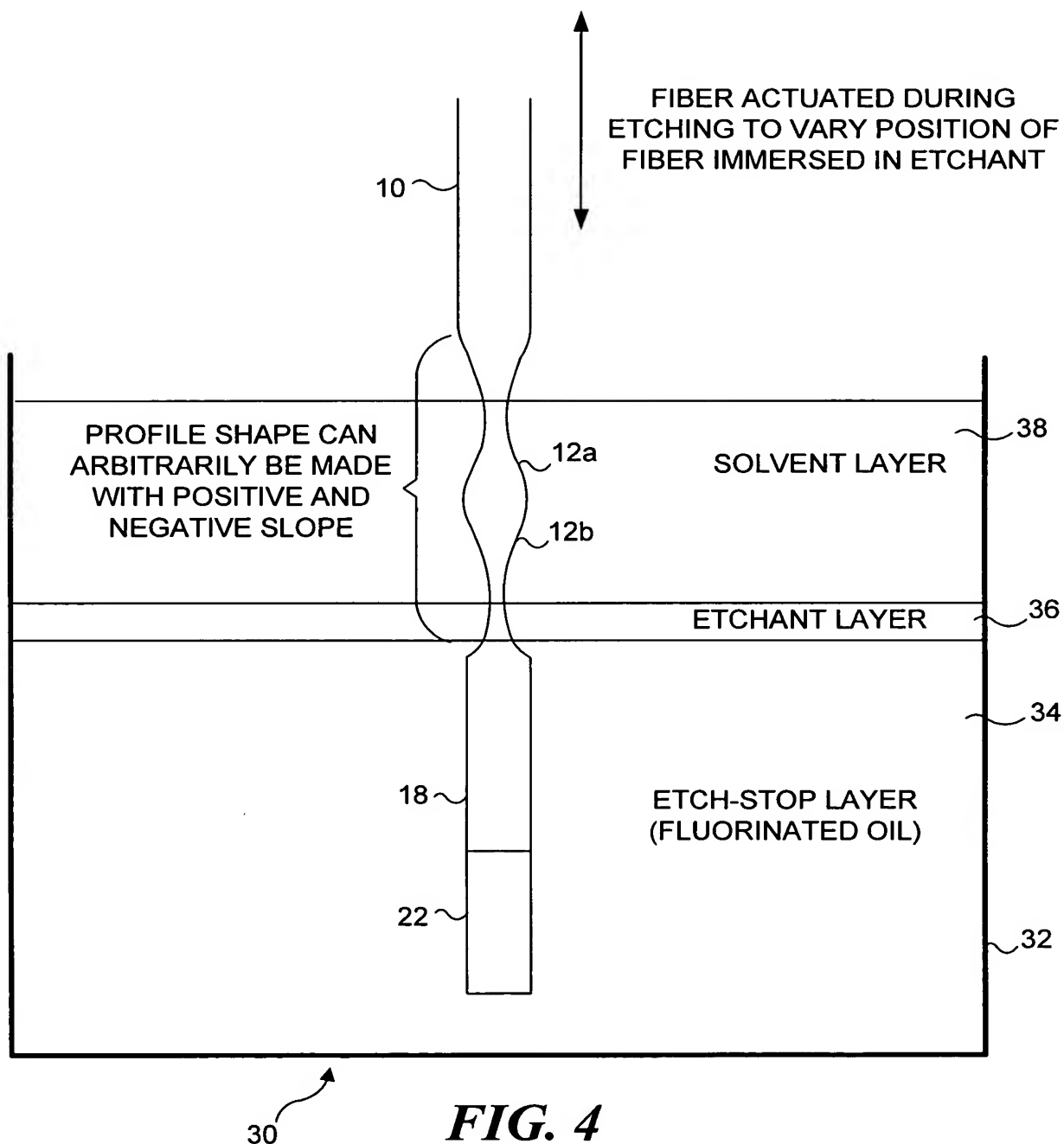


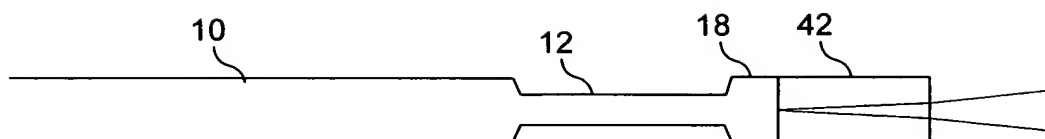
***FIG. 3A***



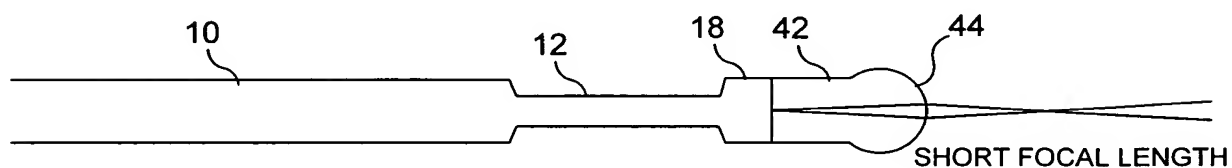
***FIG. 3B***

BEST AVAILABLE COPY

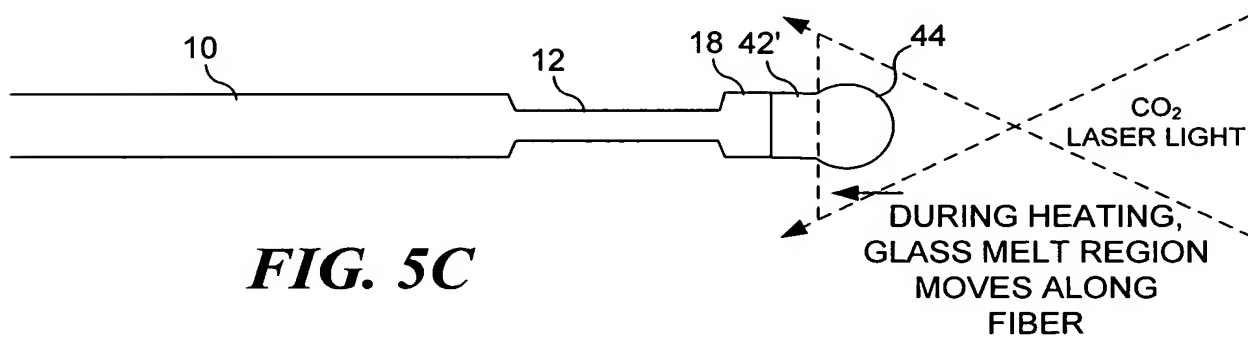




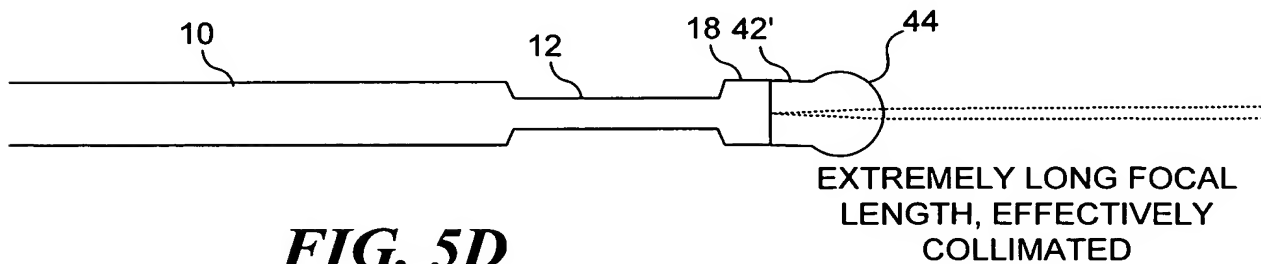
**FIG. 5A**



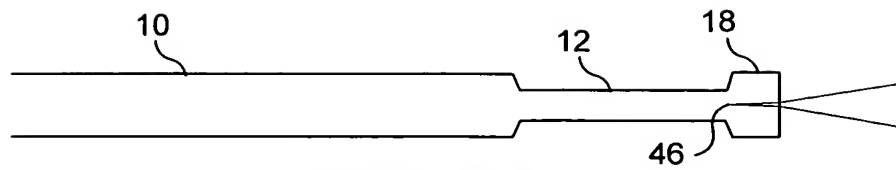
**FIG. 5B**



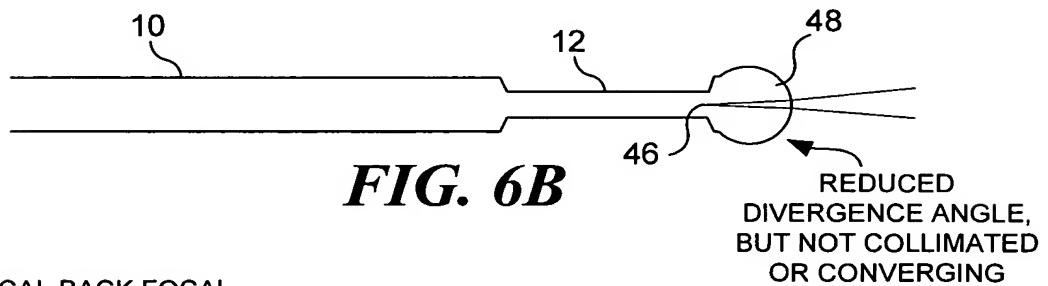
**FIG. 5C**



**FIG. 5D**

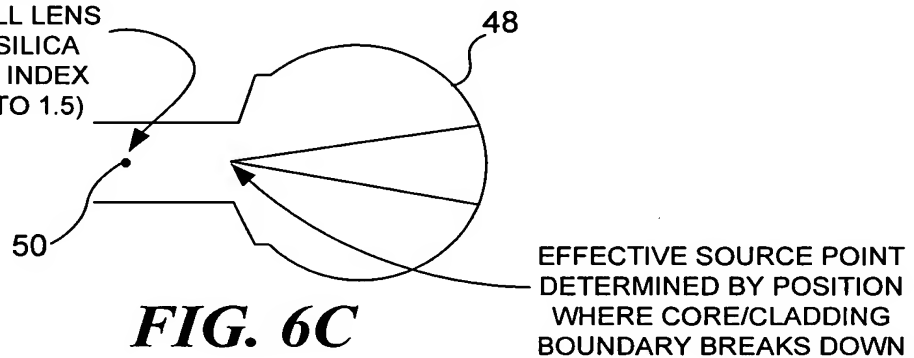


**FIG. 6A**

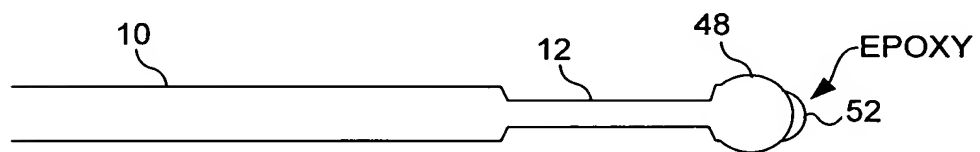


**FIG. 6B**

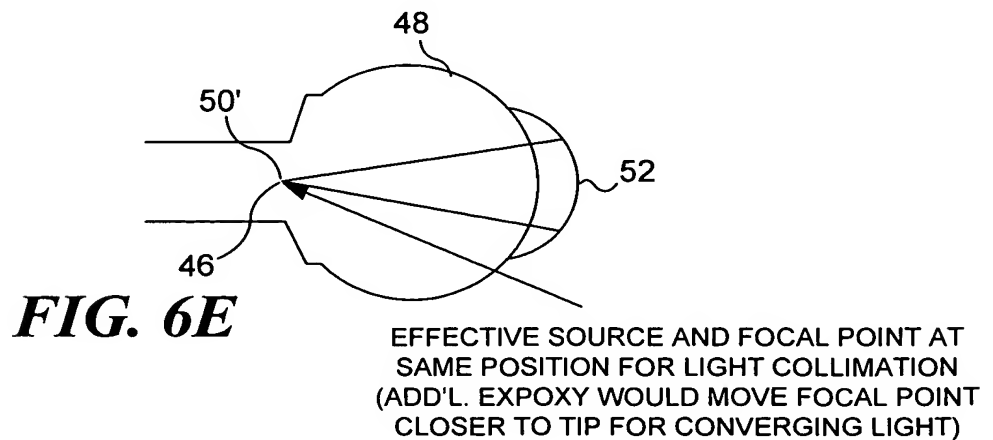
TYPICAL BACK FOCAL  
POINT FOR BALL LENS  
FORMED OF SILICA  
(REFRACTION INDEX  
APPROX. 1.4 TO 1.5)



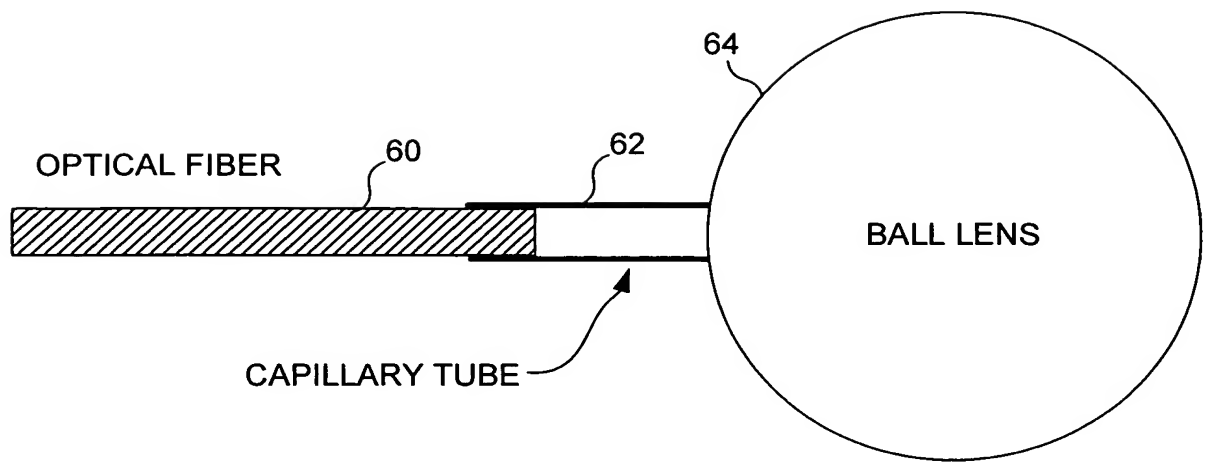
**FIG. 6C**



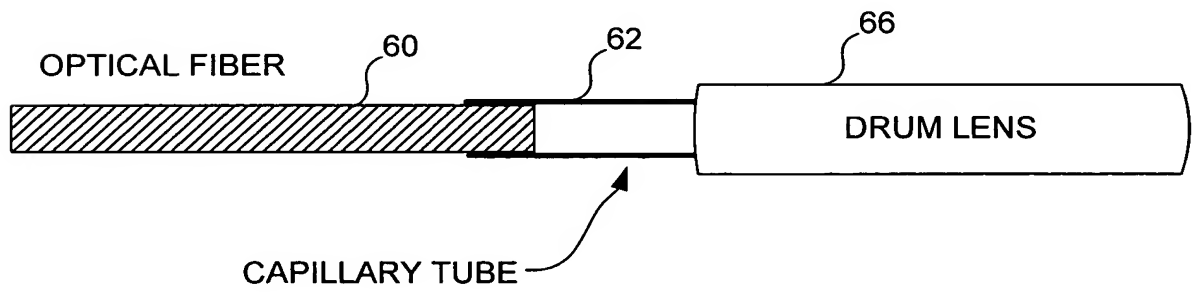
**FIG. 6D**



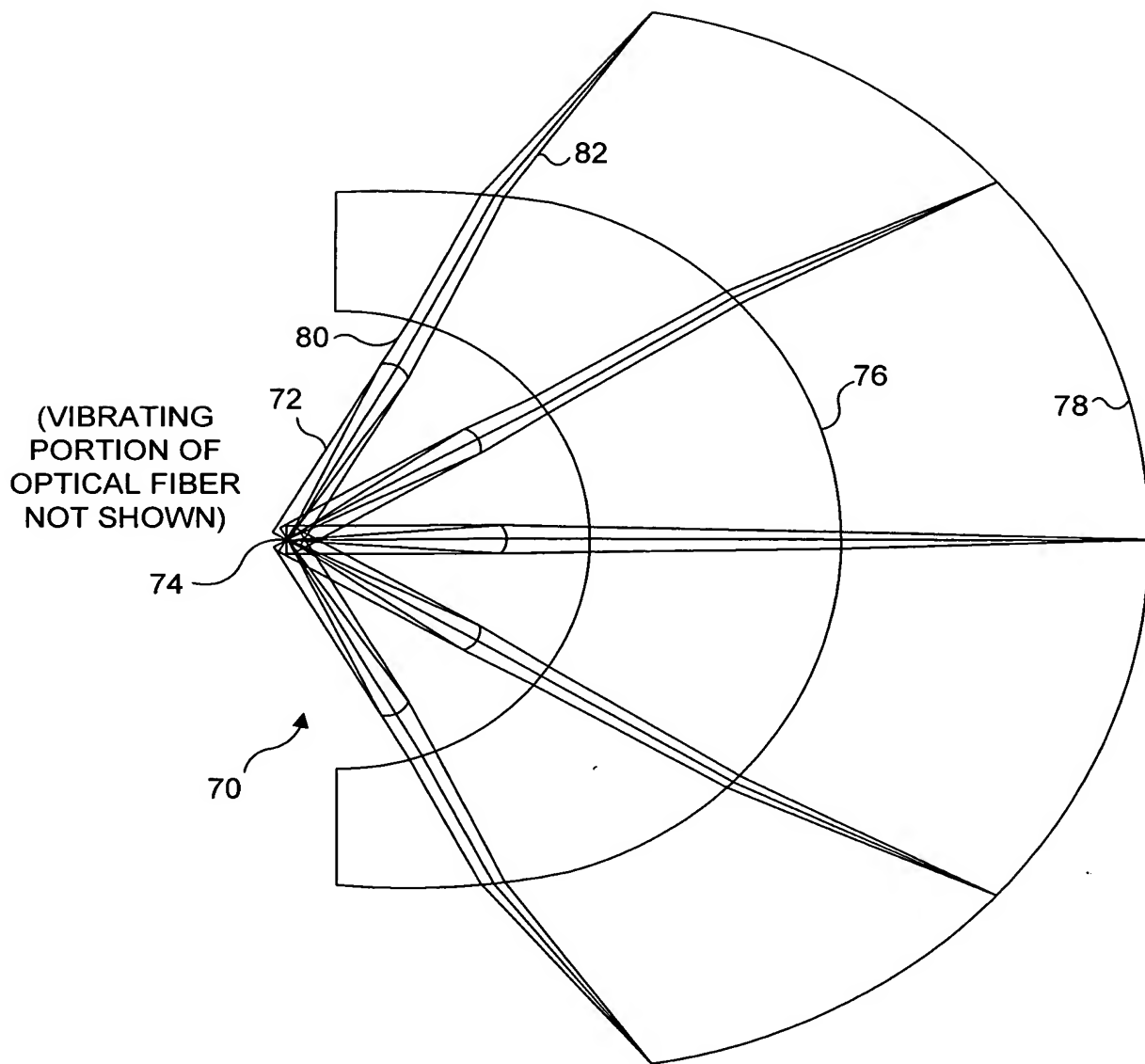
**FIG. 6E**



***FIG. 7A***

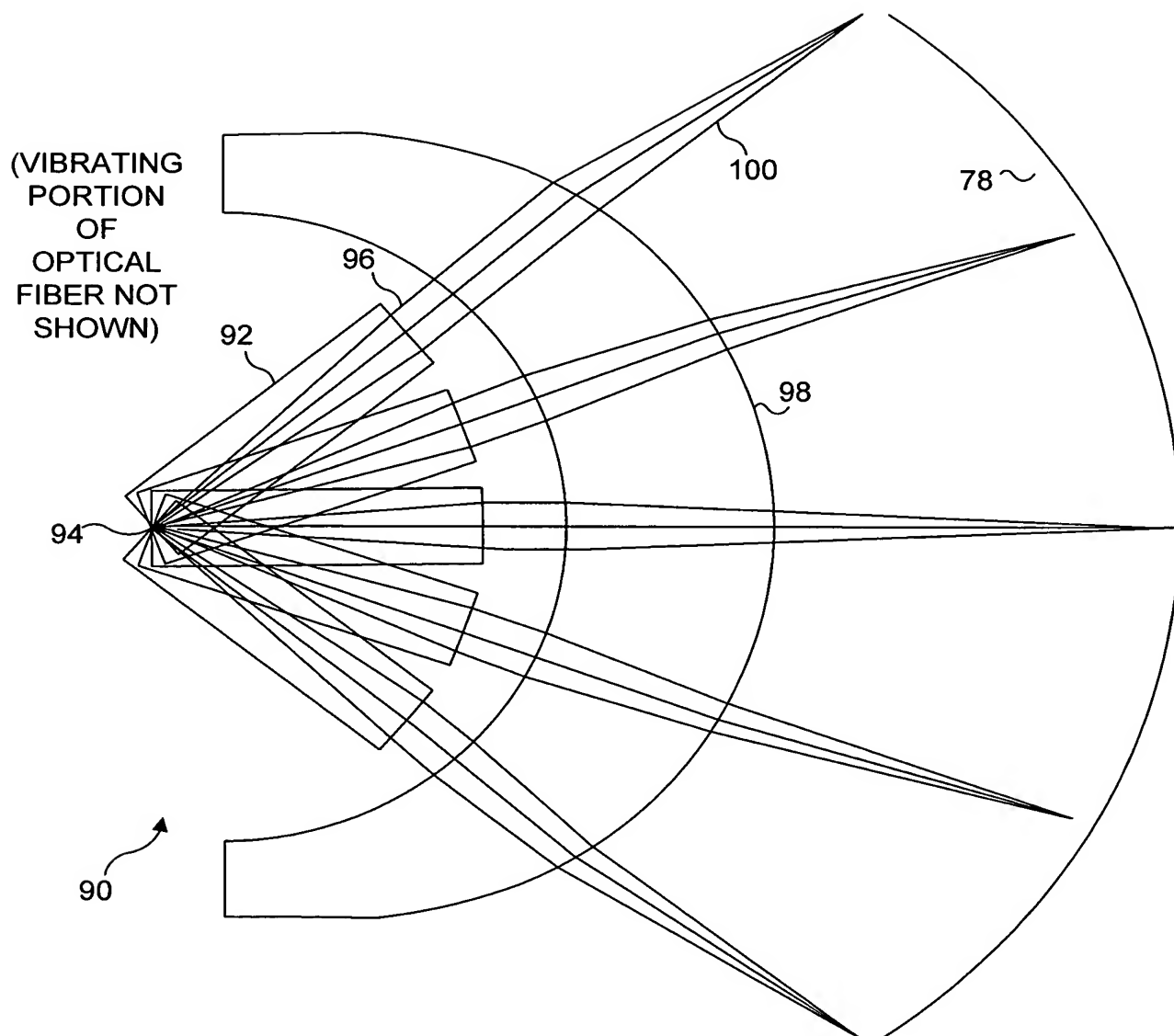


***FIG. 7B***

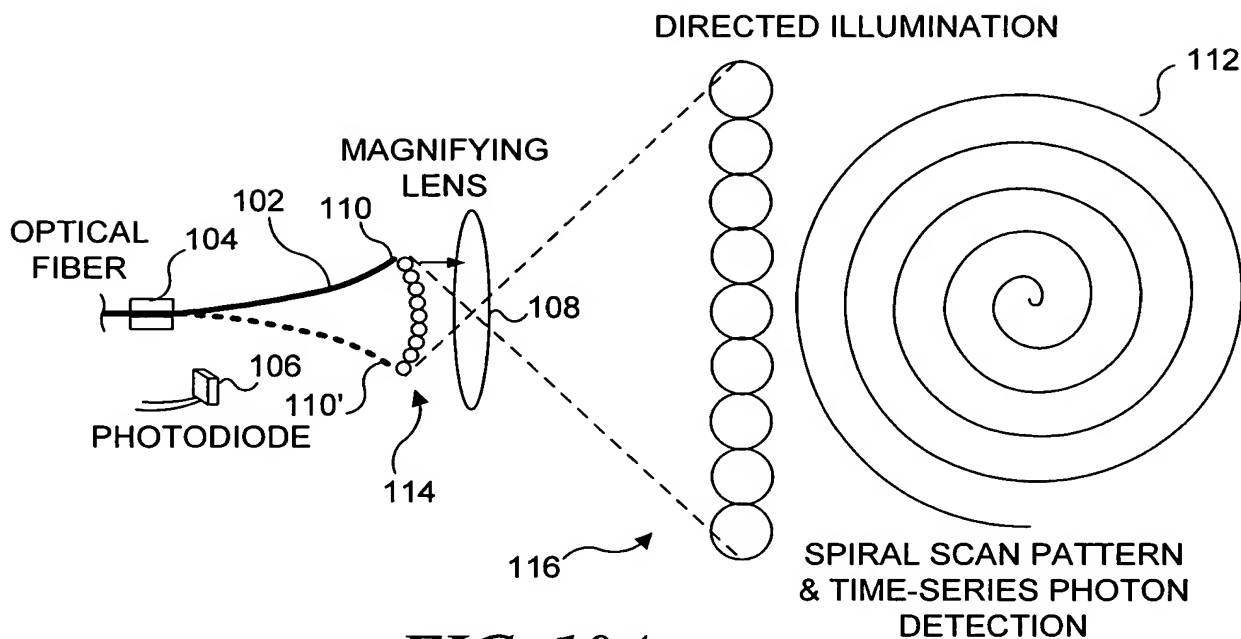


**FIG. 8**

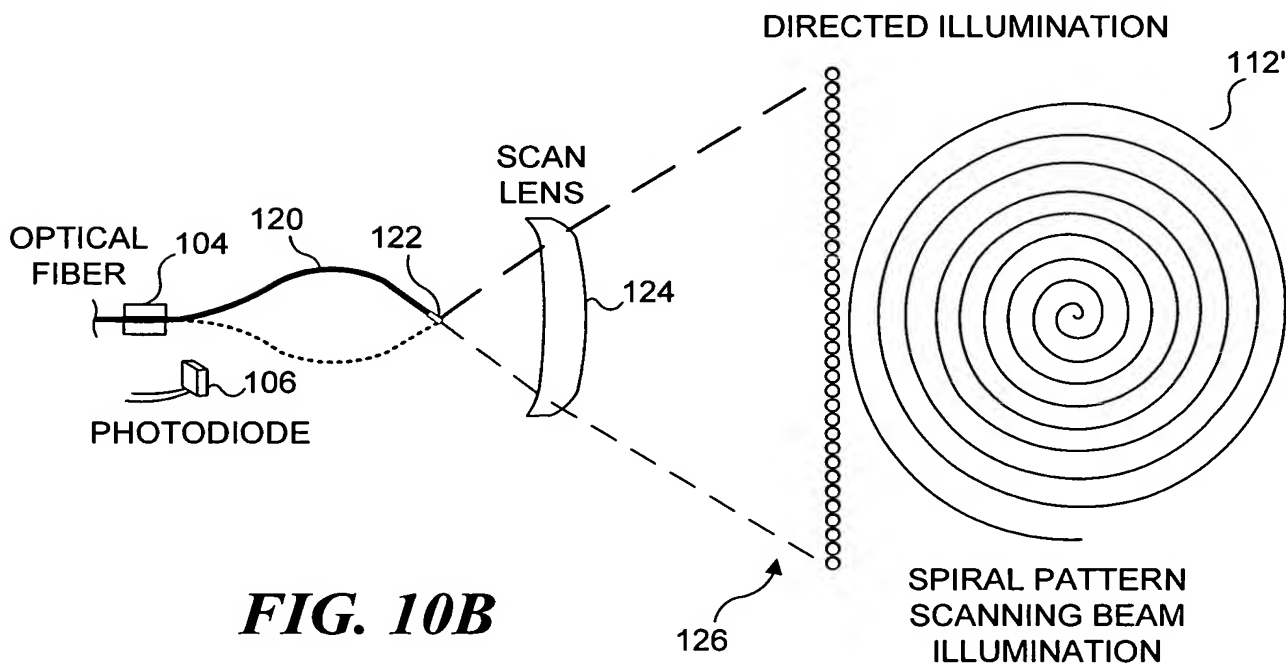




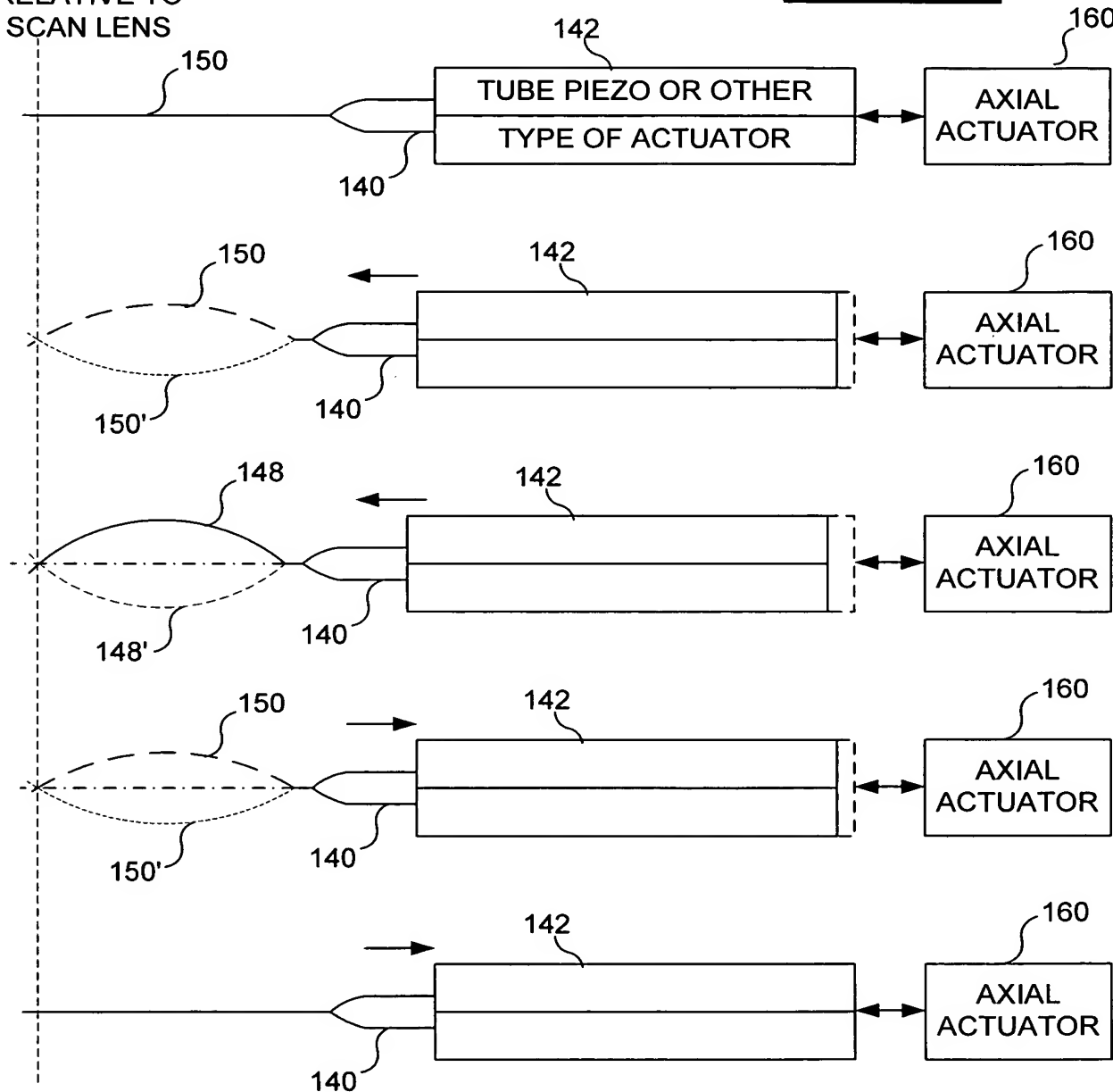
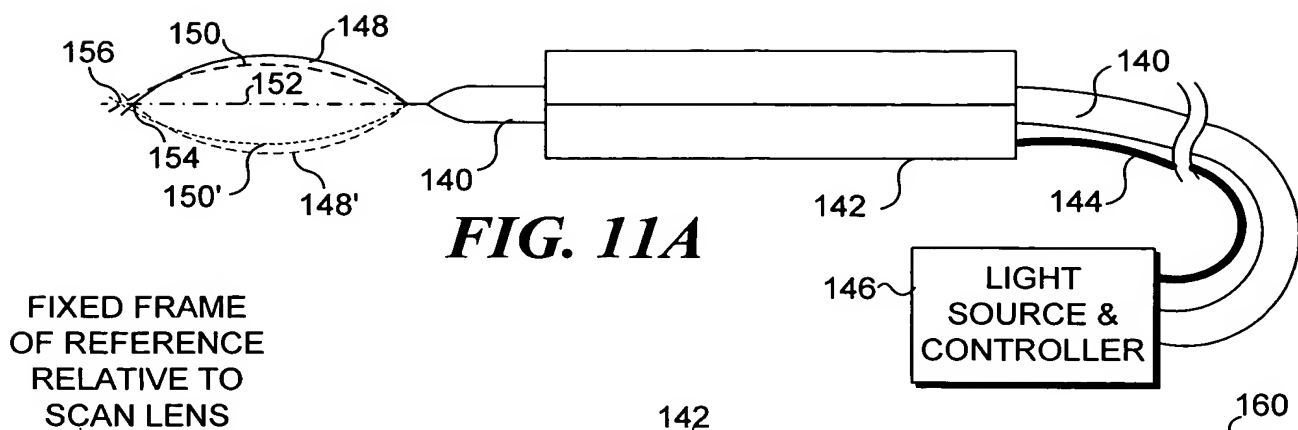
**FIG. 9**



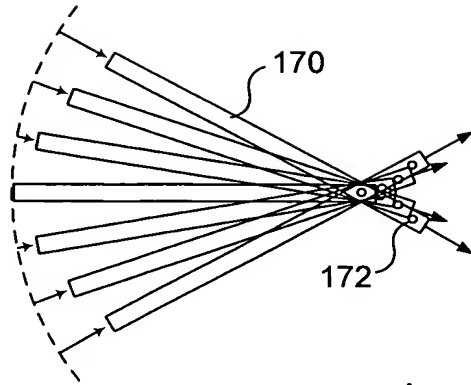
**FIG. 10A**  
**(PRIOR ART)**



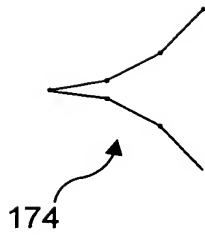
**FIG. 10B**



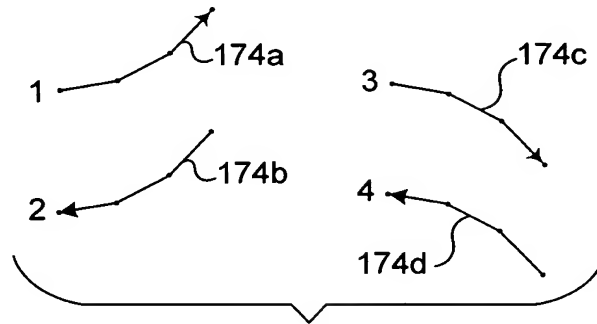
**FIG. 11B**



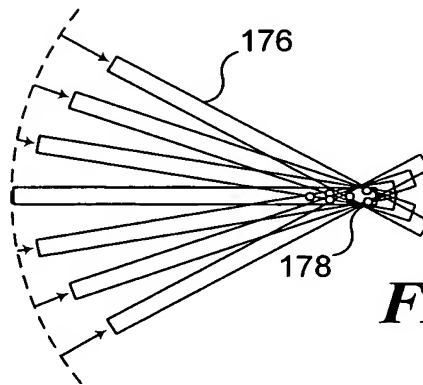
**FIG. 12A**



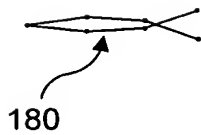
**FIG. 12B**



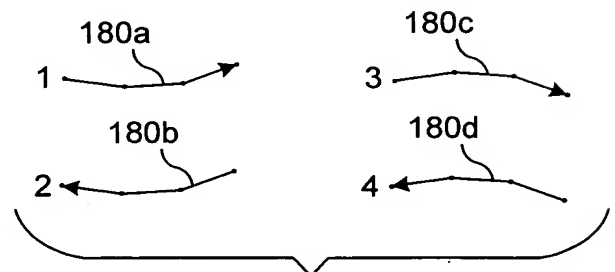
**FIG. 12C**



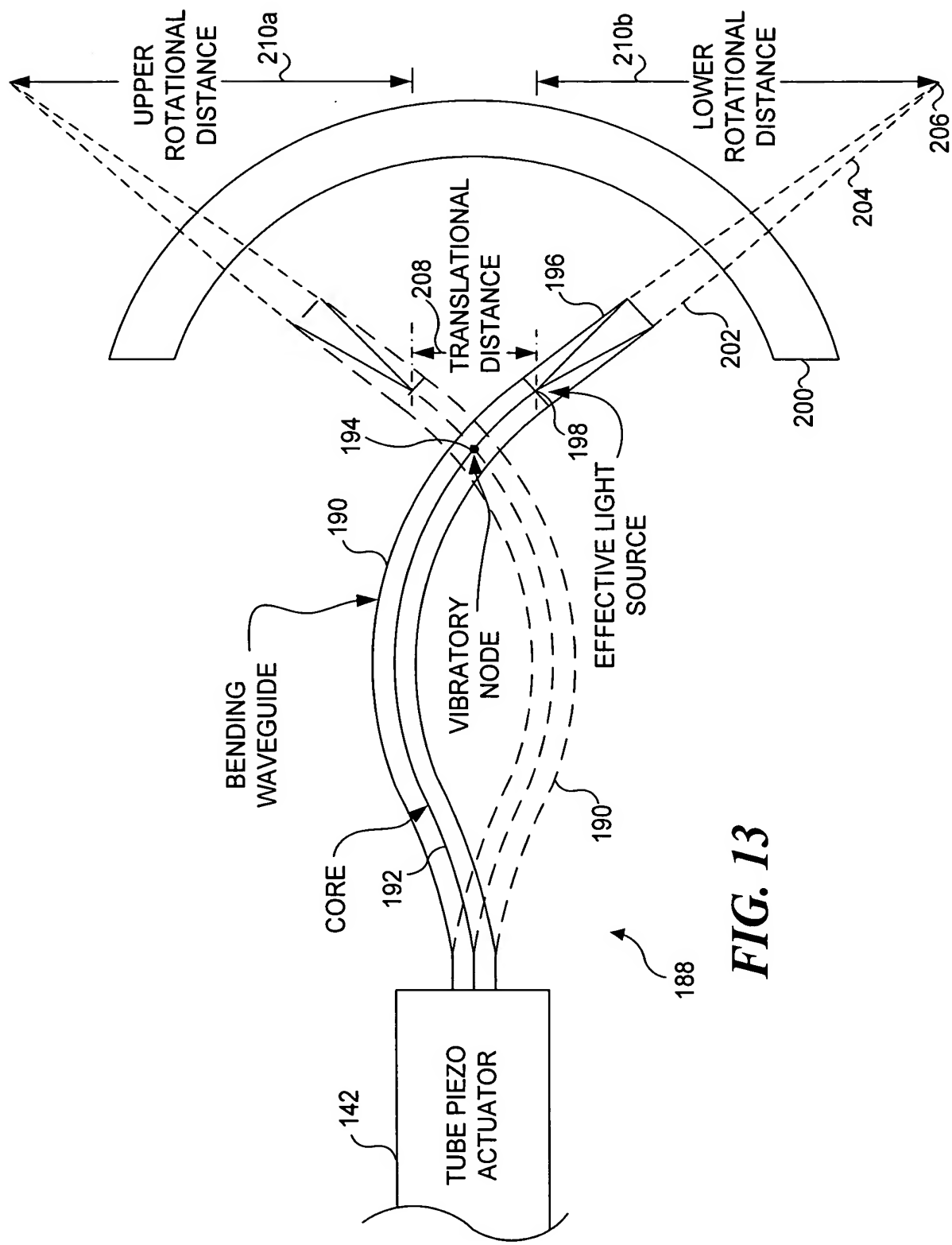
**FIG. 12D**



**FIG. 12E**



**FIG. 12F**



**FIG. 13**